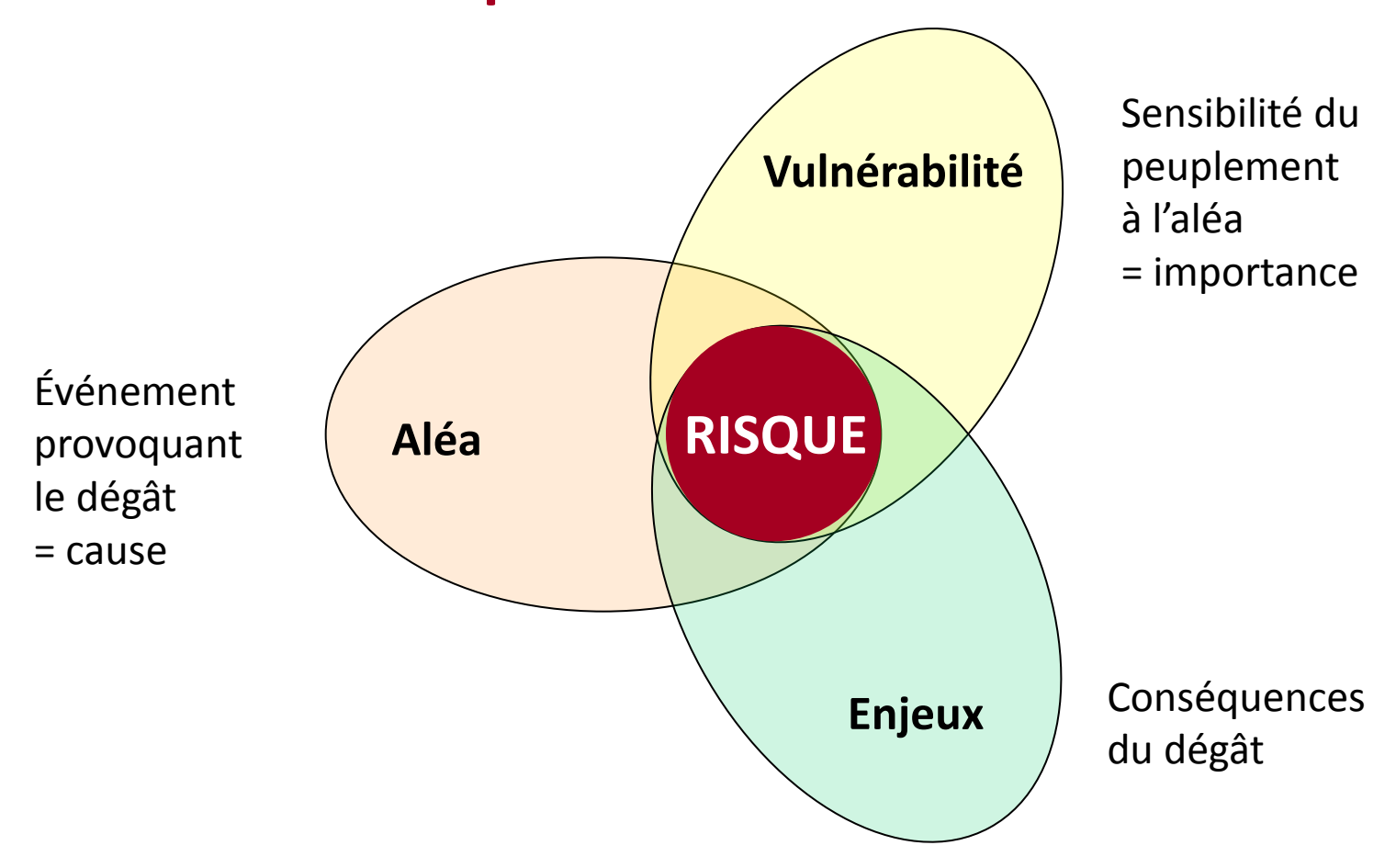
Evolution des risques biotiques en forêt



Hervé JACTEL, Marie-Laure DESPREZ-LOUSTAU, INRA, Bordeaux Benoît MARCAIS, INRA Nancy Alain ROQUES, Christelle ROBINET, INRA Orléans Dominique PIOU, Département de la Santé des Forêts

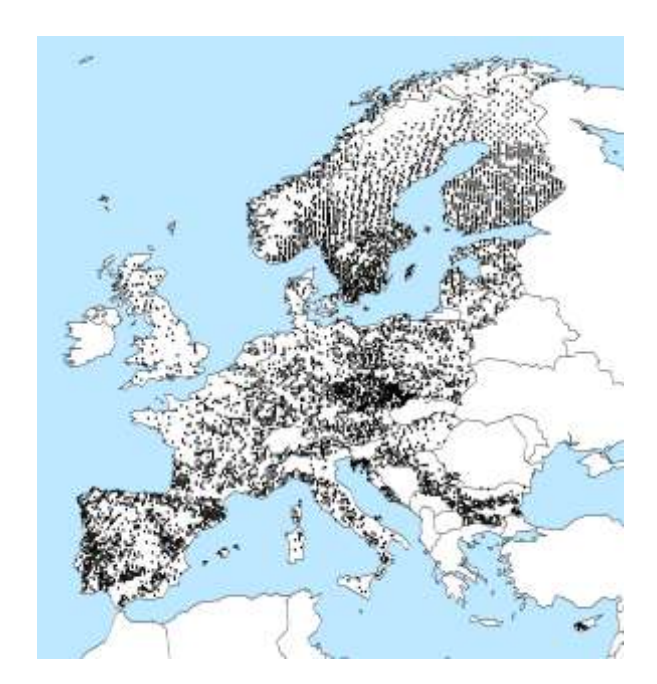
Définition du risque



Évolution du risque biotique en forêt sous l'effet

- des changements climatiques
- des (autres) changements anthropiques

1.1. Bilan de la santé des forêts européennes

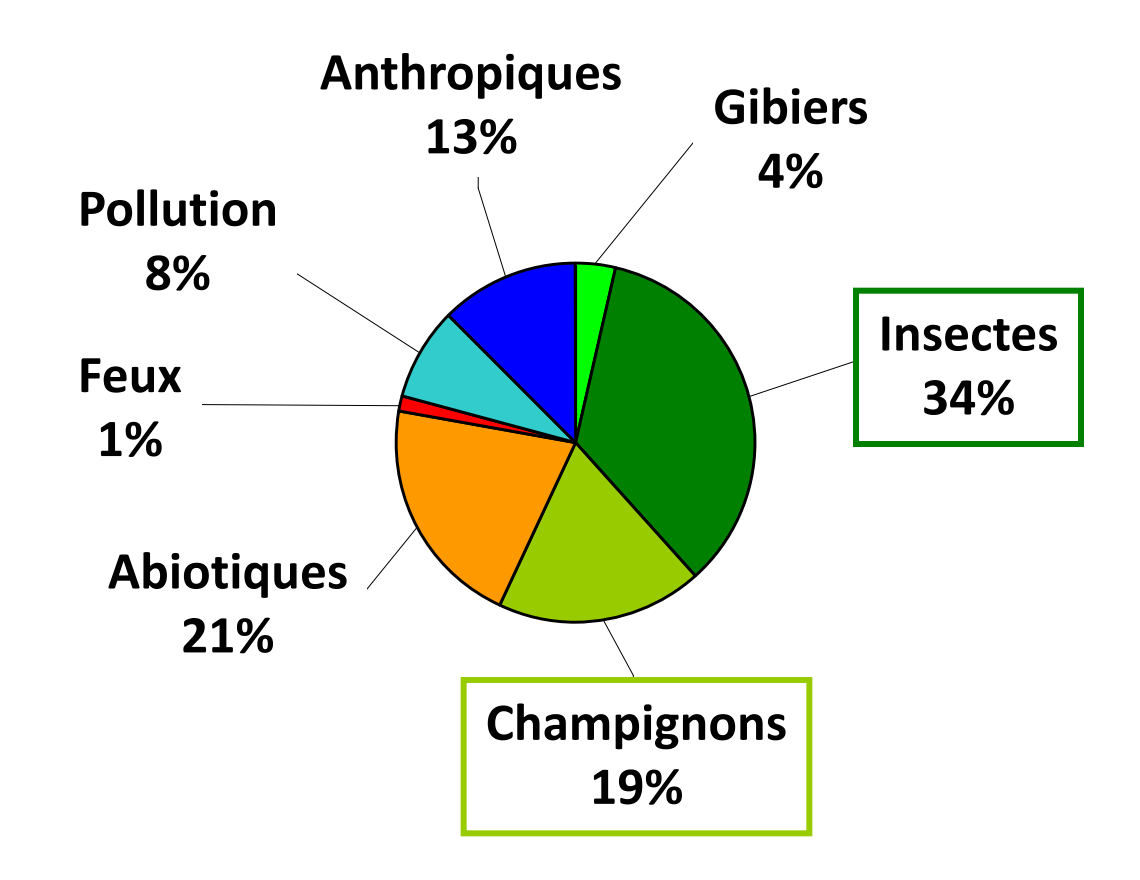


EFORWOOD

15% arbres affectés

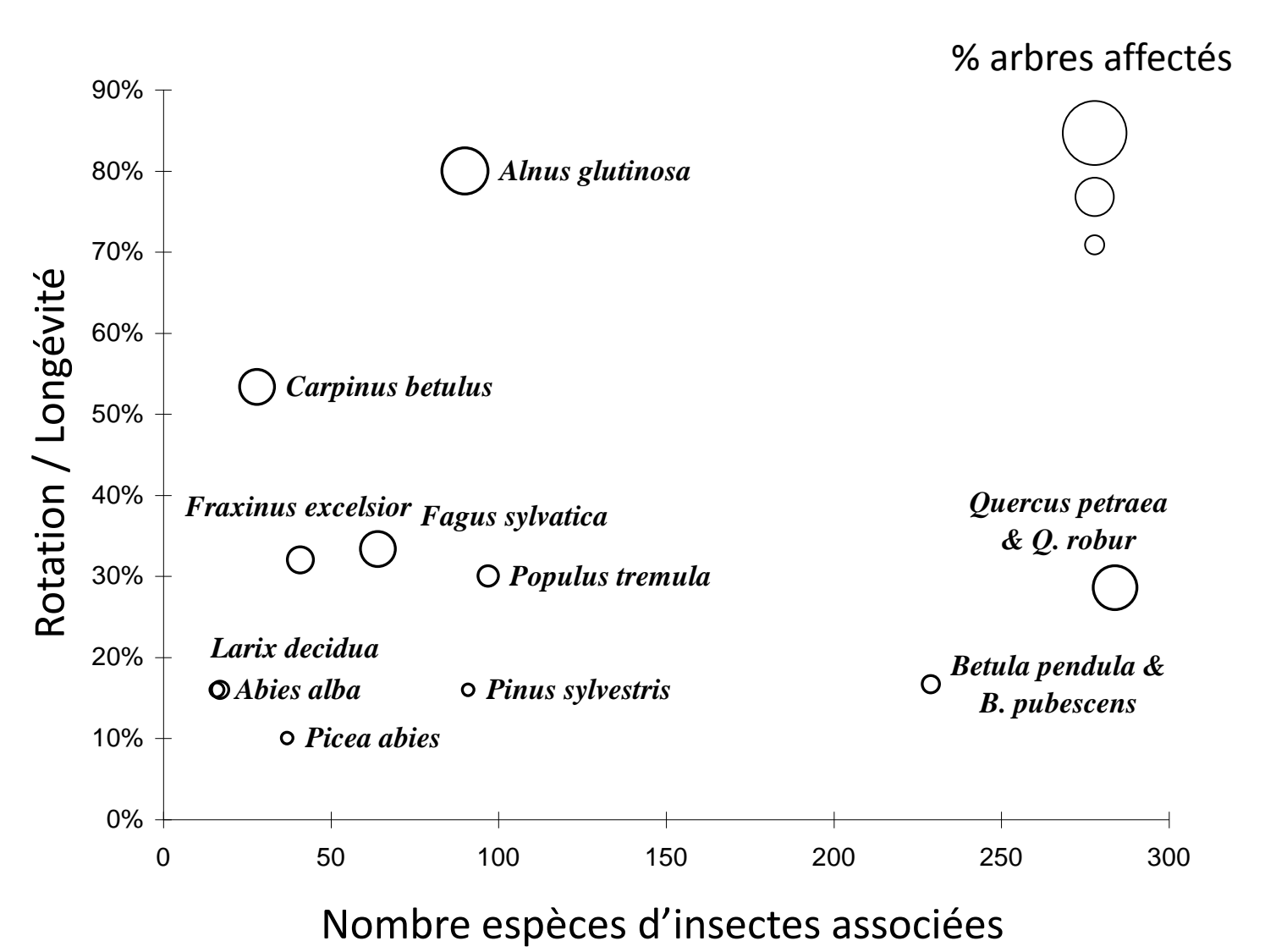
Le réseau systématique de suivi des dommages forestiers (16 x 16 km)

3 391 placettes analysées entre 1994 et 2005



1.1. Bilan de la santé des forêts européennes



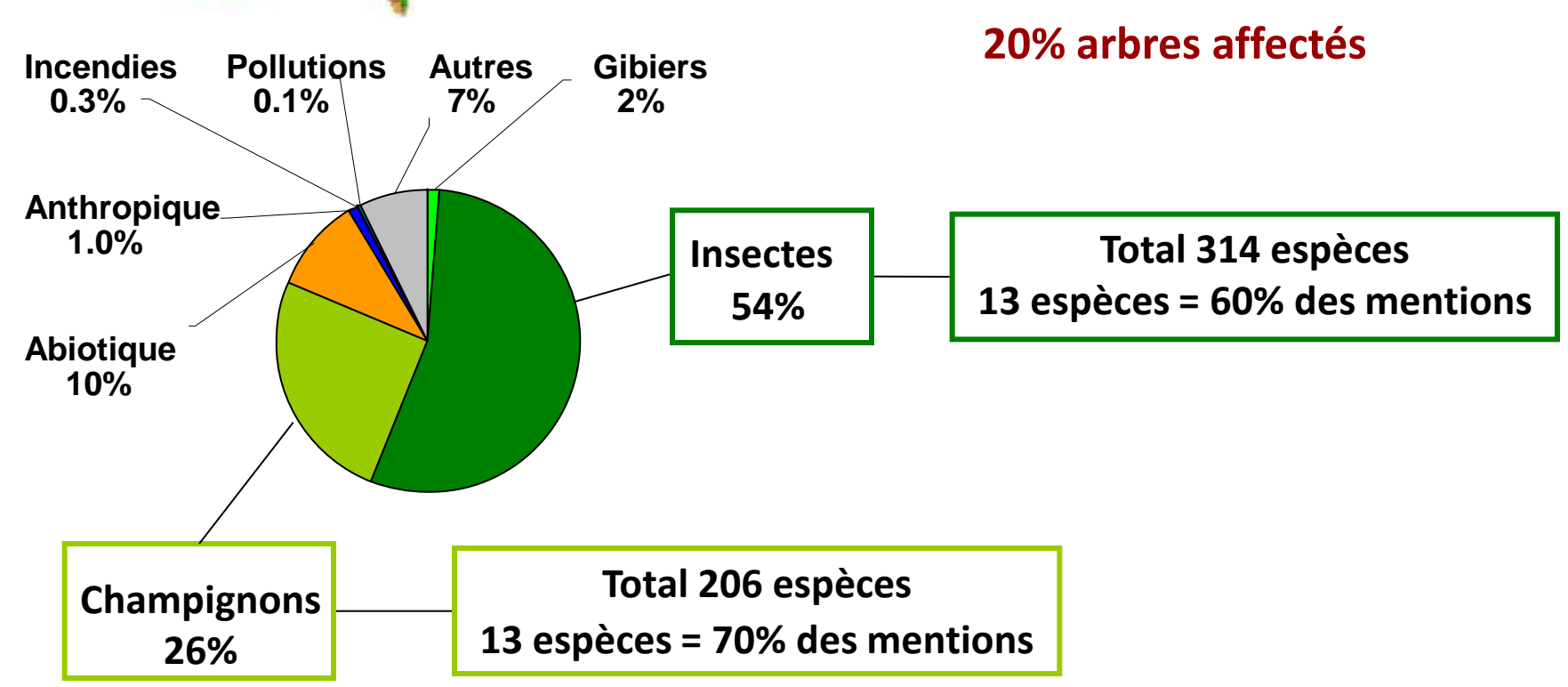


1.1. Bilan de la santé des forêts françaises



Le réseau systématique de suivi des dommages forestiers (16 x 16 km)

520 placettes en France, suivies par le DSF



1.2. Evolution sous l'effet des changements climatiques

Global Change Biology (2003) 9, 1620-1633, doi: 10.1046/j.1529-8817.2003.00684.x

Natural disturbances in the European forests in the 19th and 20th centuries

MART-JAN SCHELHAAS*+, GERT-JAN NABUURS*+ and ANDREAS SCHUCK+



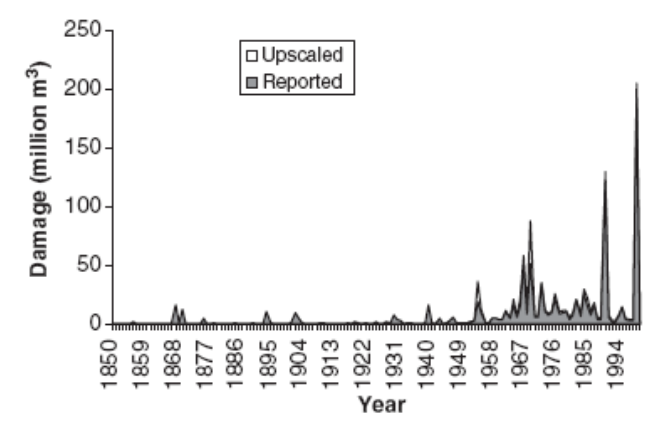


Fig. 5 Volumes of wood damaged by storms as reported in European countries for 1850–2000 and as scaled up for total Europe for 1950–2000.

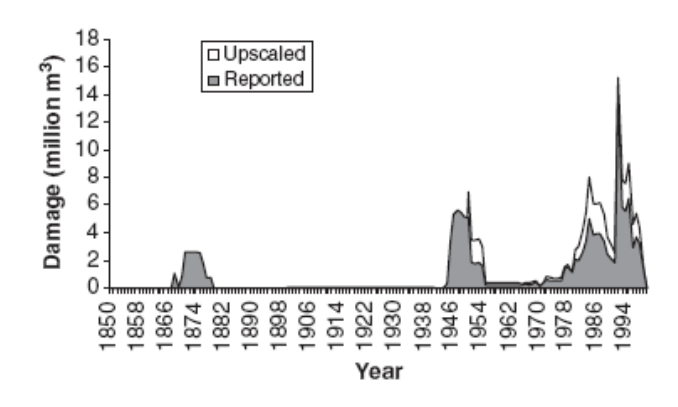
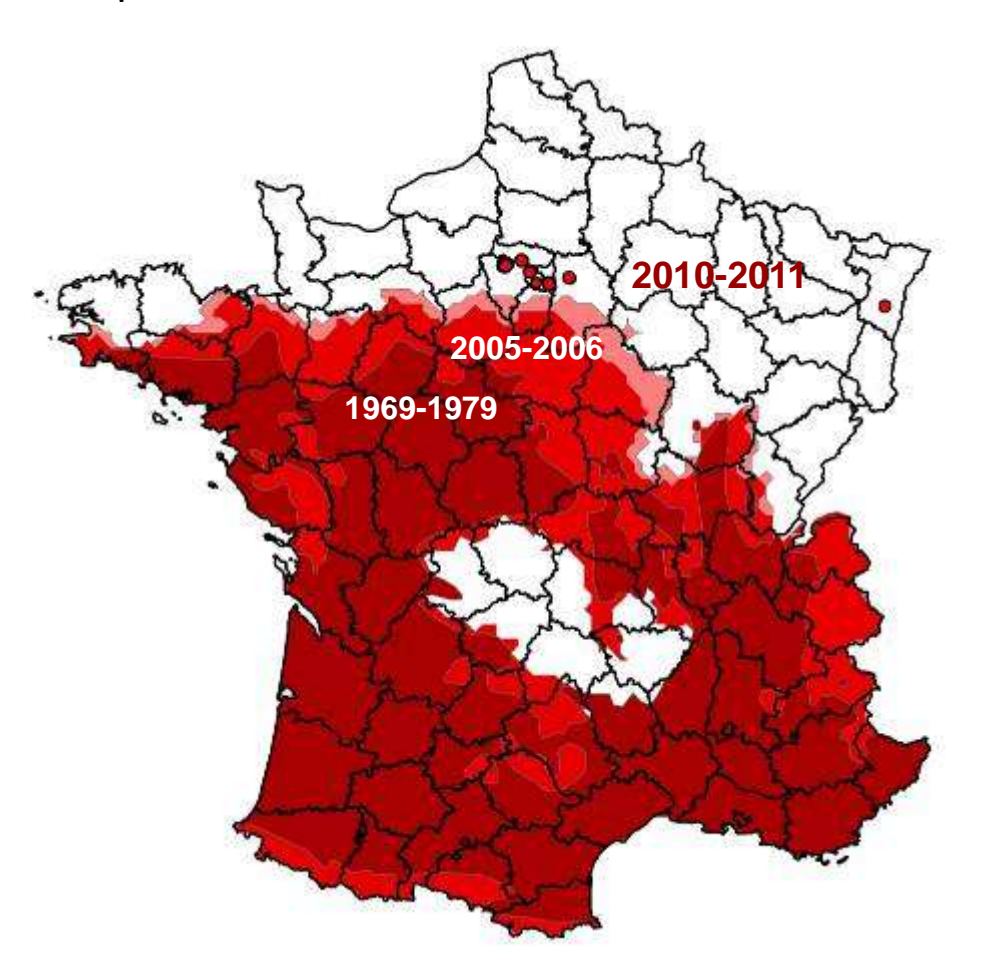


Fig. 8 Volumes of wood damaged by bark beetles, as reported in European countries for 1850-2000 and as scaled up for total Europe for 1950-2000.



1.2. Evolution sous l'effet des changements climatiques

Processionnaire du pin, *Thaumetopoea pityocampa* : expansion de l'aire de distribution avec la hausse des températures hivernales



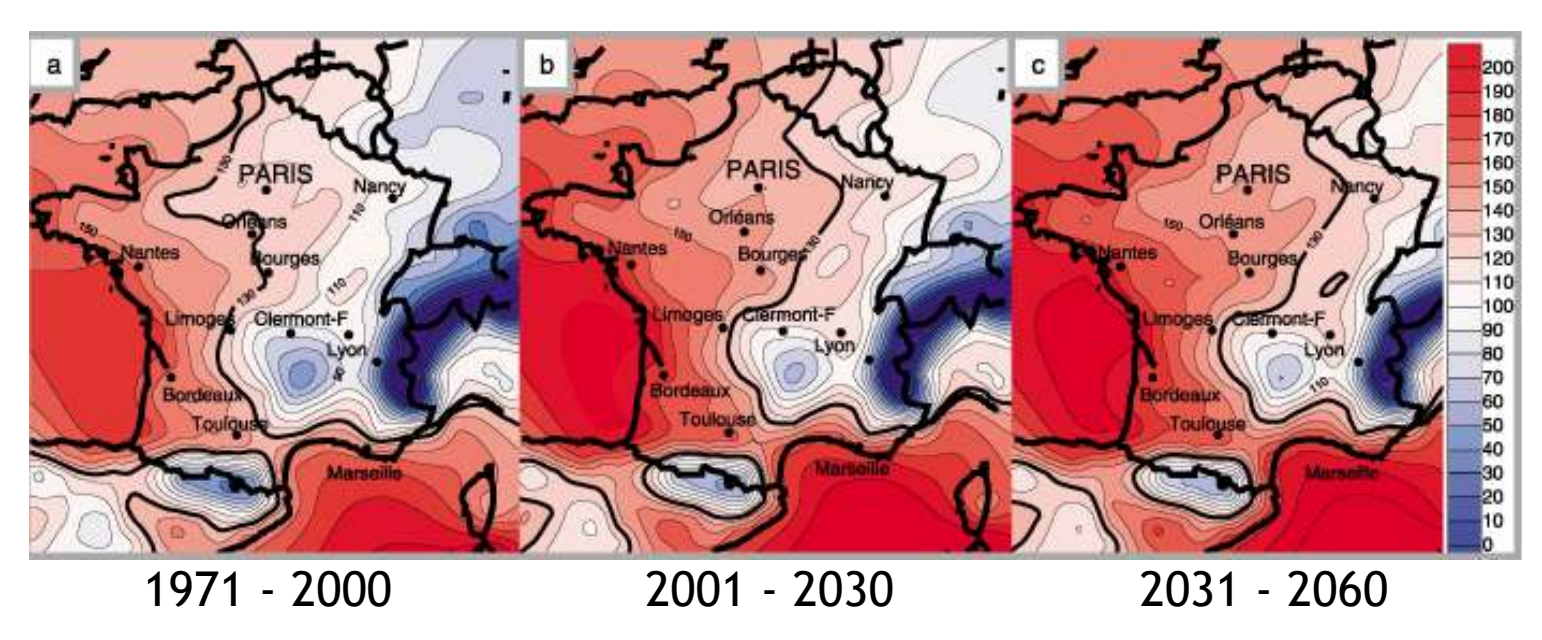


Dispersion

De meilleures conditions climatiques combinées au transport accidentel d'individus par l'homme augmente la rapidité de son expansion

Source: INRA Orléans, cartographie sur une grille de 8 km et foyers isolés détectés entre 2003 et 2011

1.2. Evolution sous l'effet des changements climatiques



Amélioration de la survie:

Les températures plus élevées permettent aux larves de s'alimenter plus souvent durant la période hivernale et de survivre bien au-delà de son aire de distribution passée



Nombre de jours d'alimentation

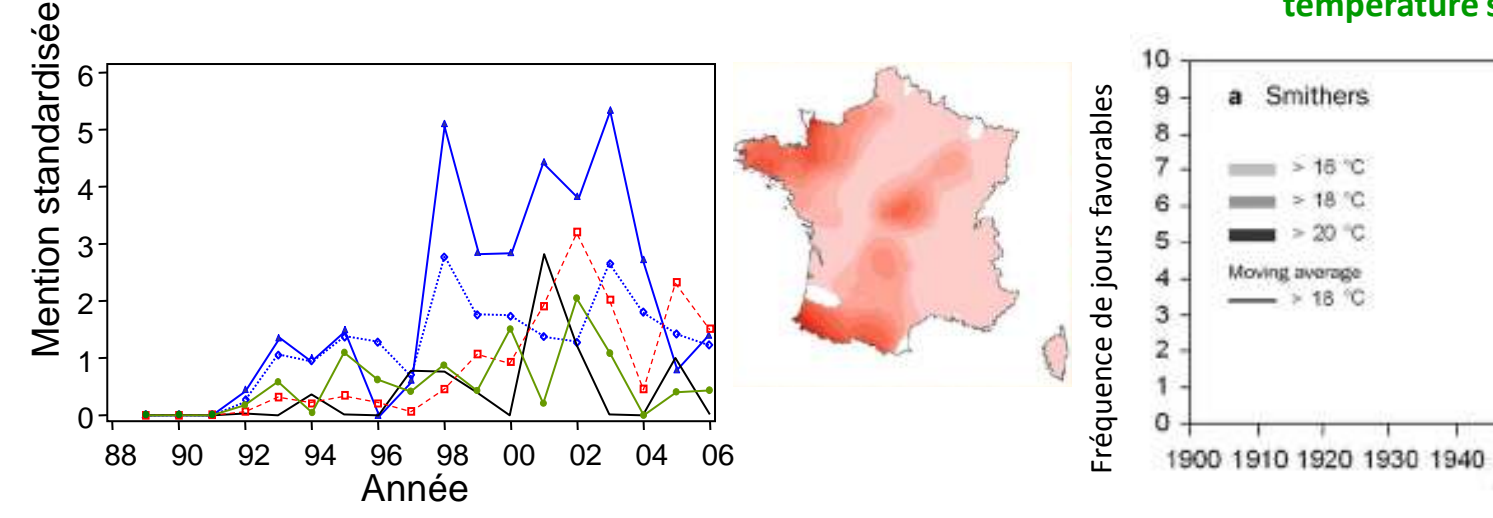
1.2. Evolution sous l'effet des changements climatiques

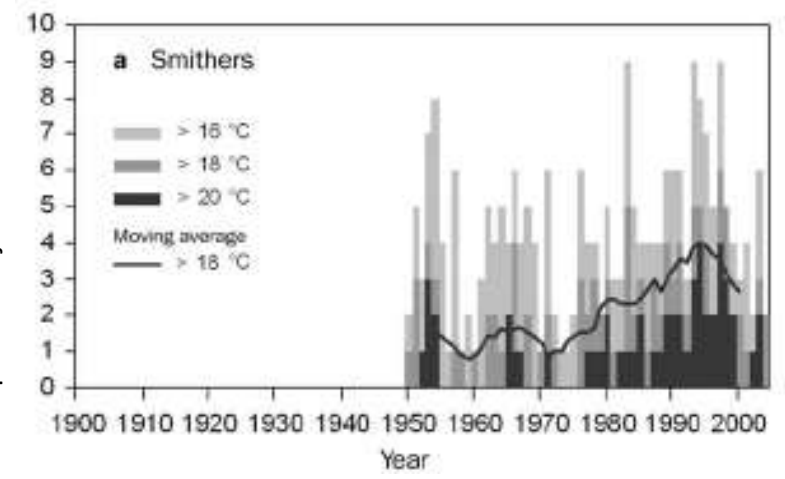
Emergence de la maladie des bandes rouges (Dothistroma sp.)

- sur Pinus nigra subsp laricio
- sans importance épidémiologique dans les années 70-80
- maintenant limitante pour Pin laricio
- favorisée par les conditions chaudes et humides





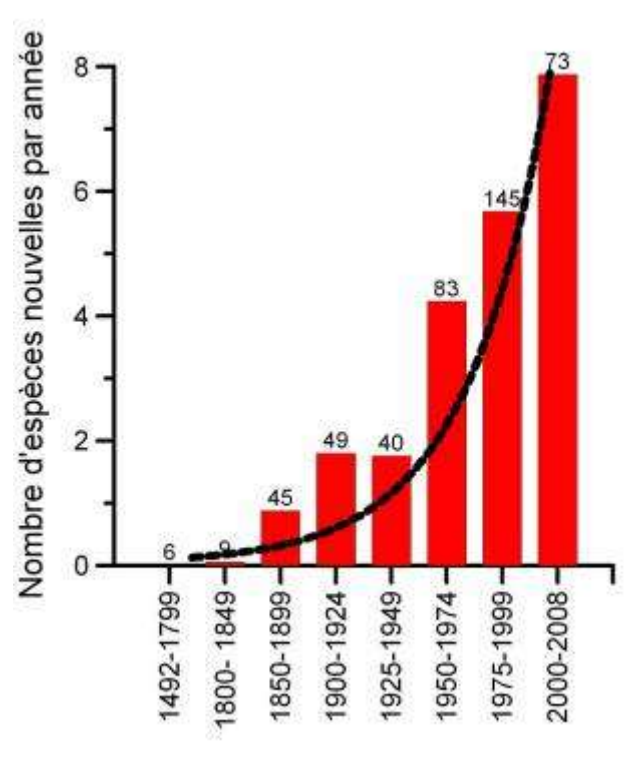


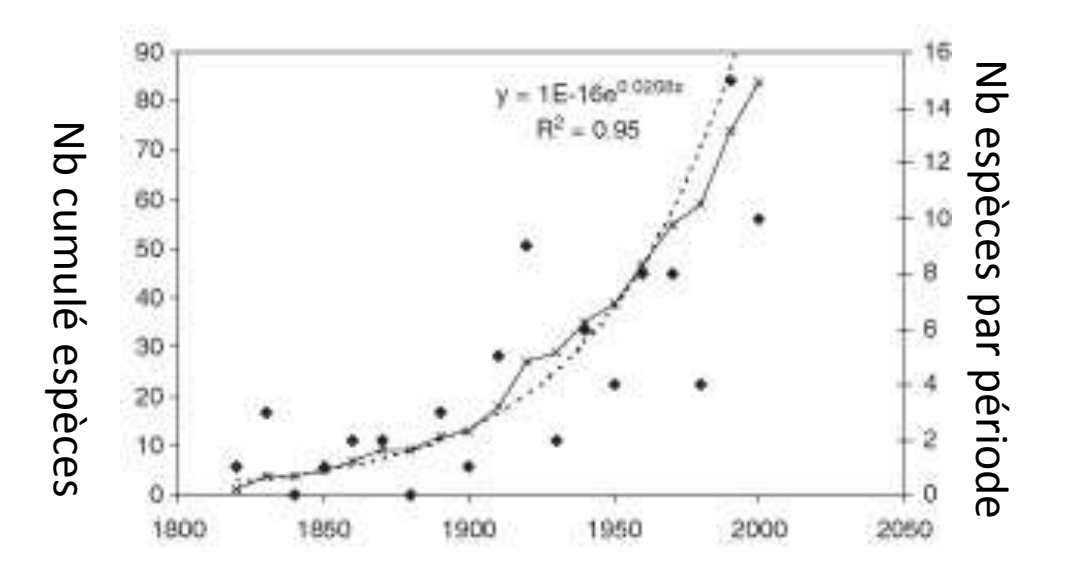


Source: Marçais, INRA Nancy

1.3. Evolution sous l'effet des introductions d'espèces

Croissance exponentielle de l'arrivée des espèces exotiques en Europe avec l'augmentation des échanges commerciaux





Invertébrés

Roques et al., 2010

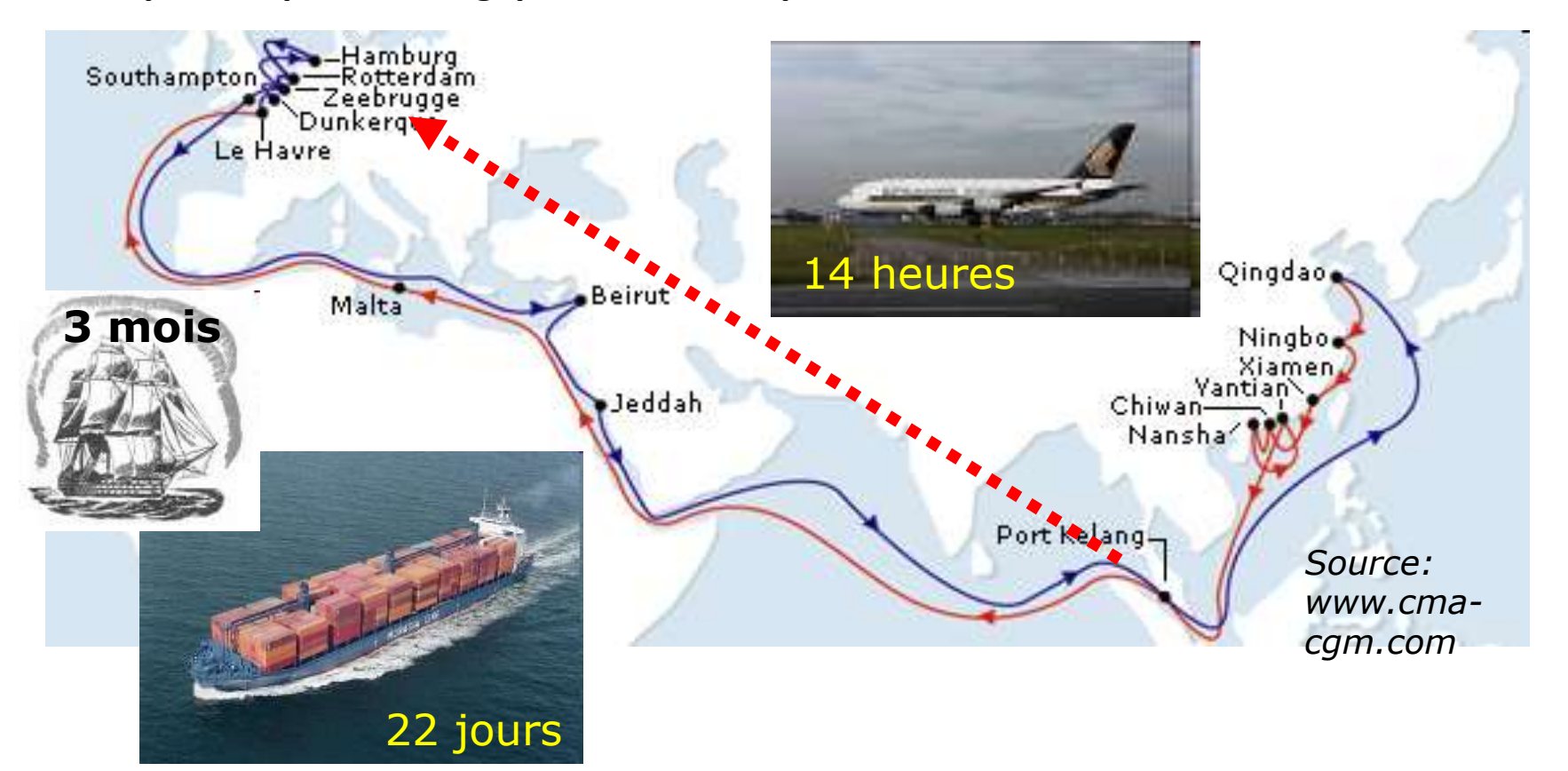
Pathogènes

Desprez-Loustau, 2009

1.3. Evolution sous l'effet des introductions d'espèces

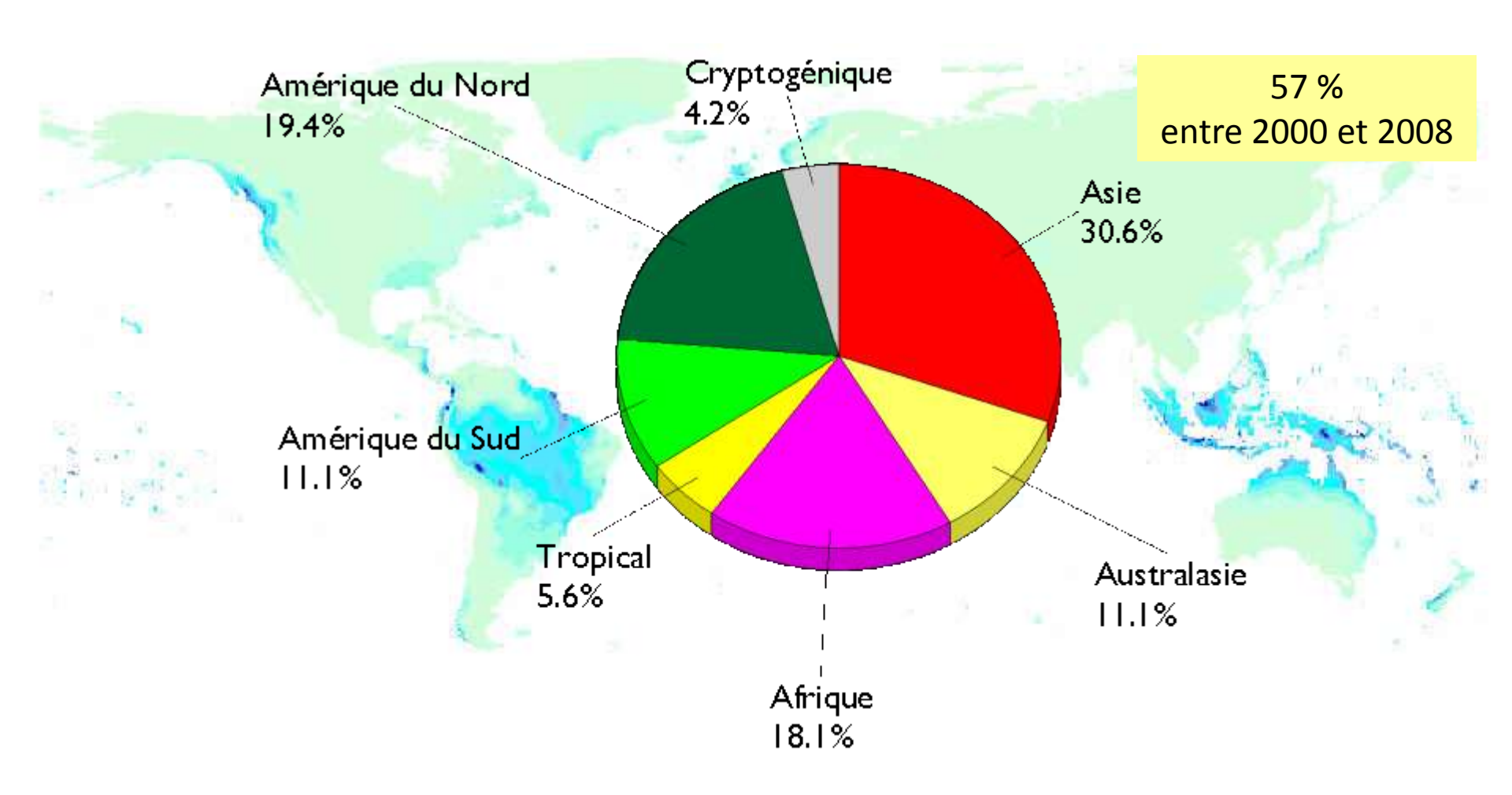
Les transports modernes facilitent la survie des espèces

Transport de plantes Singapour- Southampton/ Londres



1.3. Evolution sous l'effet des introductions d'espèces

Changement des sources invasives pour les insectes: l'Asie désormais dominante



1.3. Evolution sous l'effet des introductions d'espèces

des exemples récents ...



Cameraria ohridella / Maronnier



Leptoglossus occidentalis / pins



Anoplophora glabripennis / feuillus



Cryphonectria parasitica / Châtaignier



Phytophthora alni / Aulnes



Chalara fraxinea / Frêne

1.3. Evolution sous l'effet des introductions d'espèces

La chalarose, une invasion récente qui remet en cause l'utilisation du frêne comme essence forestière





Dépérissement des arbres adultes et importante mortalité de semis...

92% des frênes de + 10 ans sont touchés dans le foyer initial de Haute-Saône (Husson et al. 2012)

1.3. Evolution sous l'effet des introductions d'espèces

Ils sont à nos portes...



Pitch canker Chancre du pin Gibberella circinata

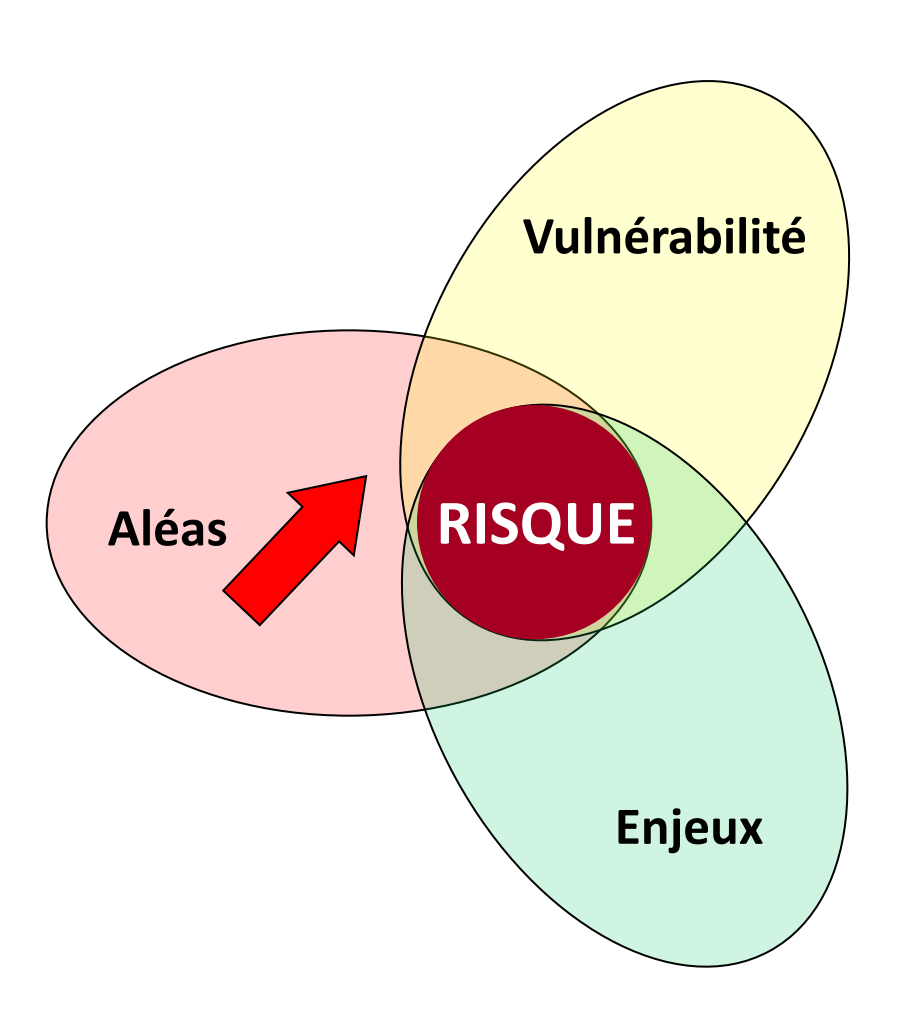
Monochamus galloprovincialis



Bursaphelenchus xylophilus Nématode du pin

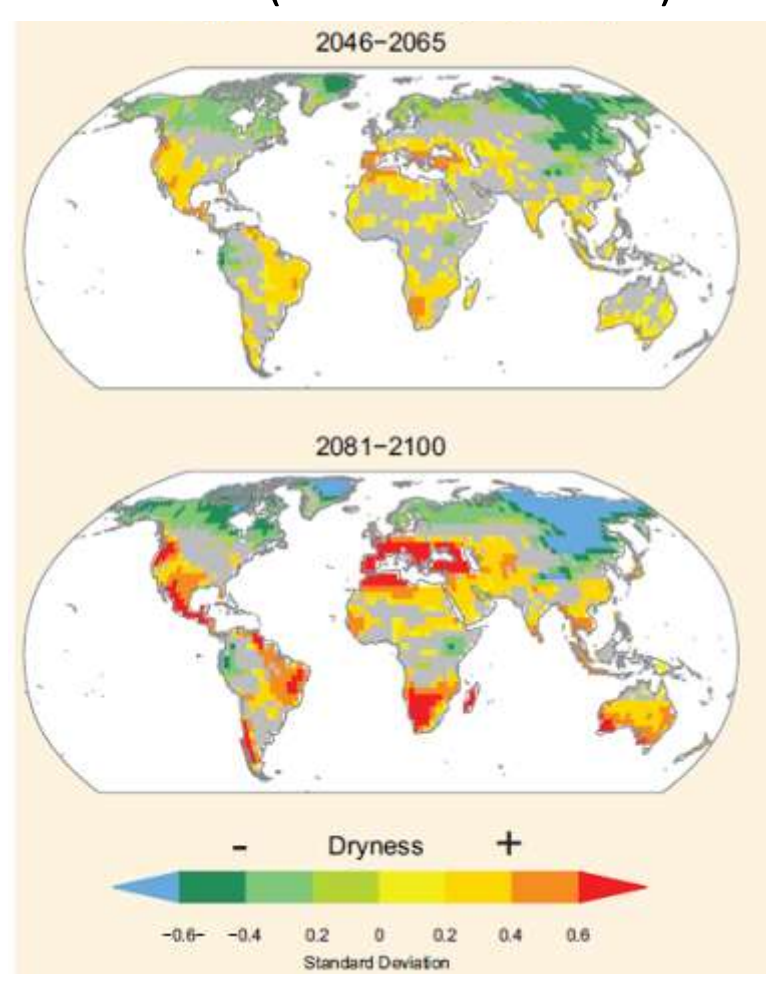


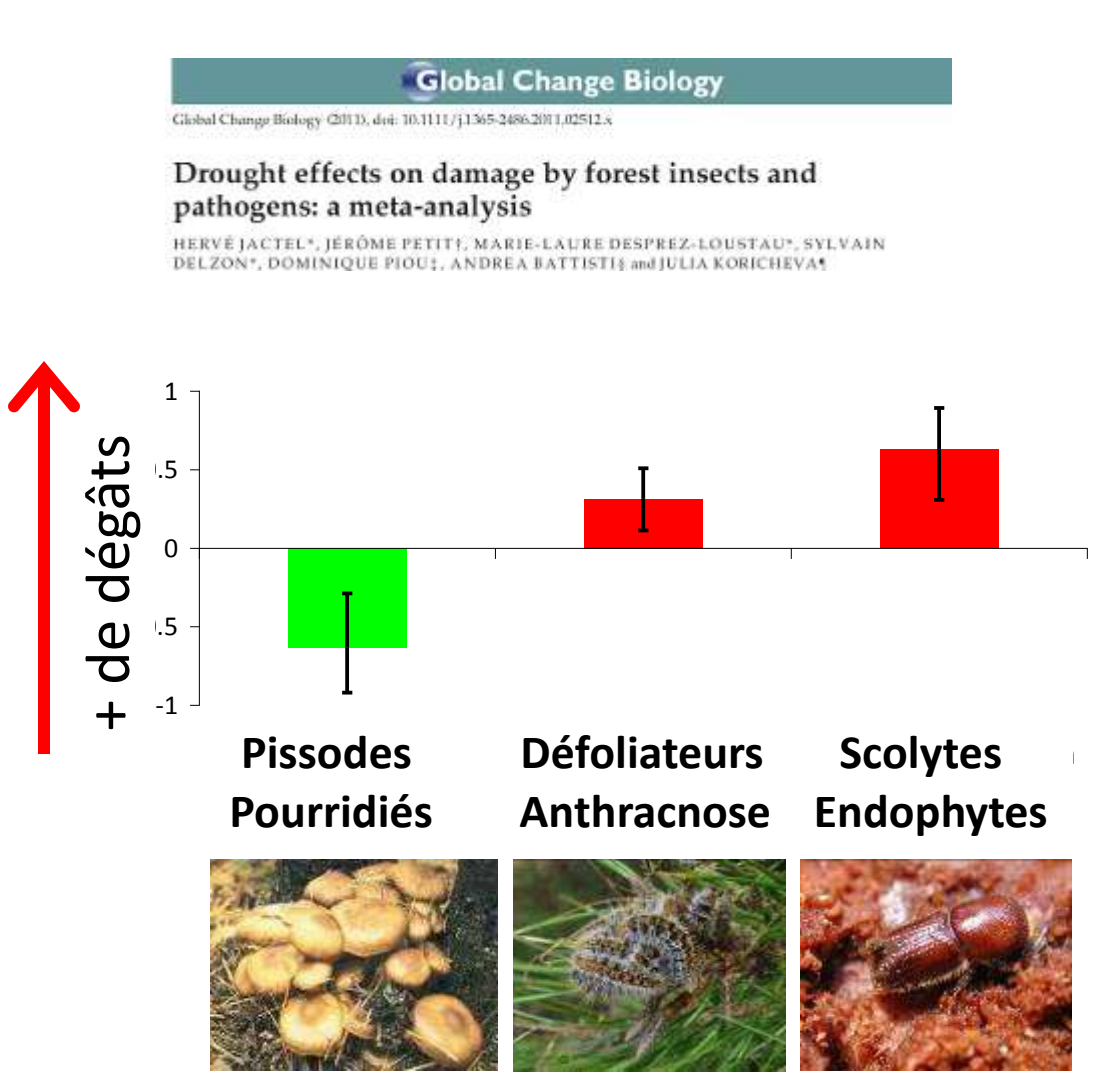
Expansion prévue en 2030 (source: INRA Orléans)



2.1. Evolution sous l'effet des changements climatiques: sécheresse







2.1. Evolution sous l'effet des changements climatiques: sécheresse

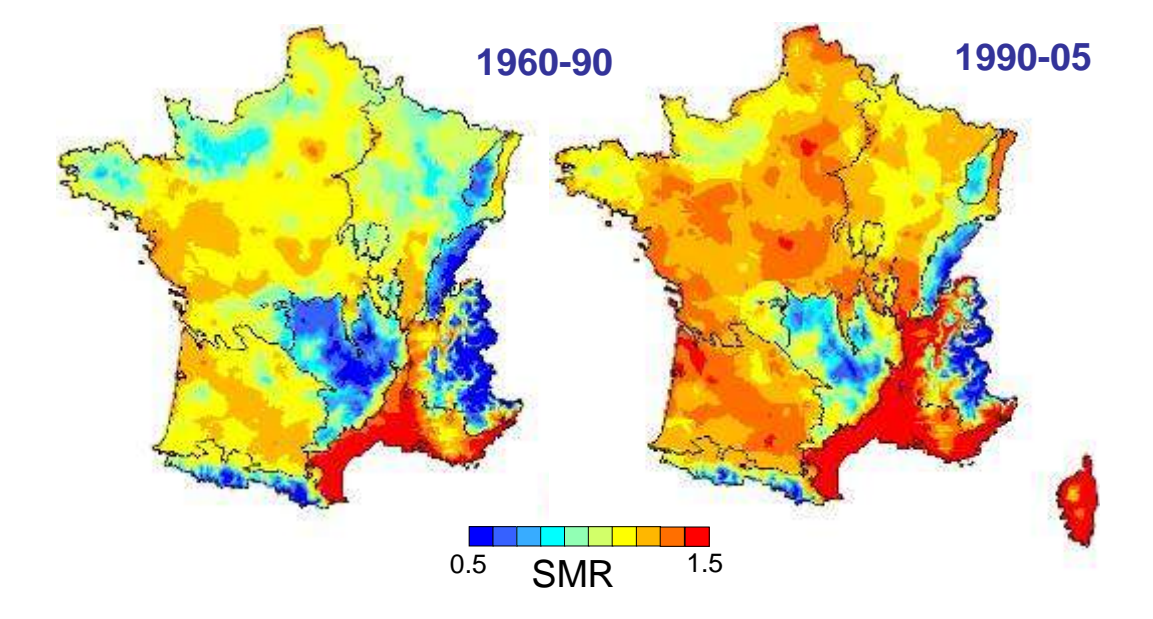


Diplodia pinea / Pinus spp

- Maladie émergente qui est devenue depuis le début des années
 1990 une contrainte sanitaire majeure pour les pinèdes
- Champignon endophyte (asymptomatique) ne devenant pathogène que sur arbres affaiblis par stress, notamment hydrique

Sévérité modélisée pour climats de :

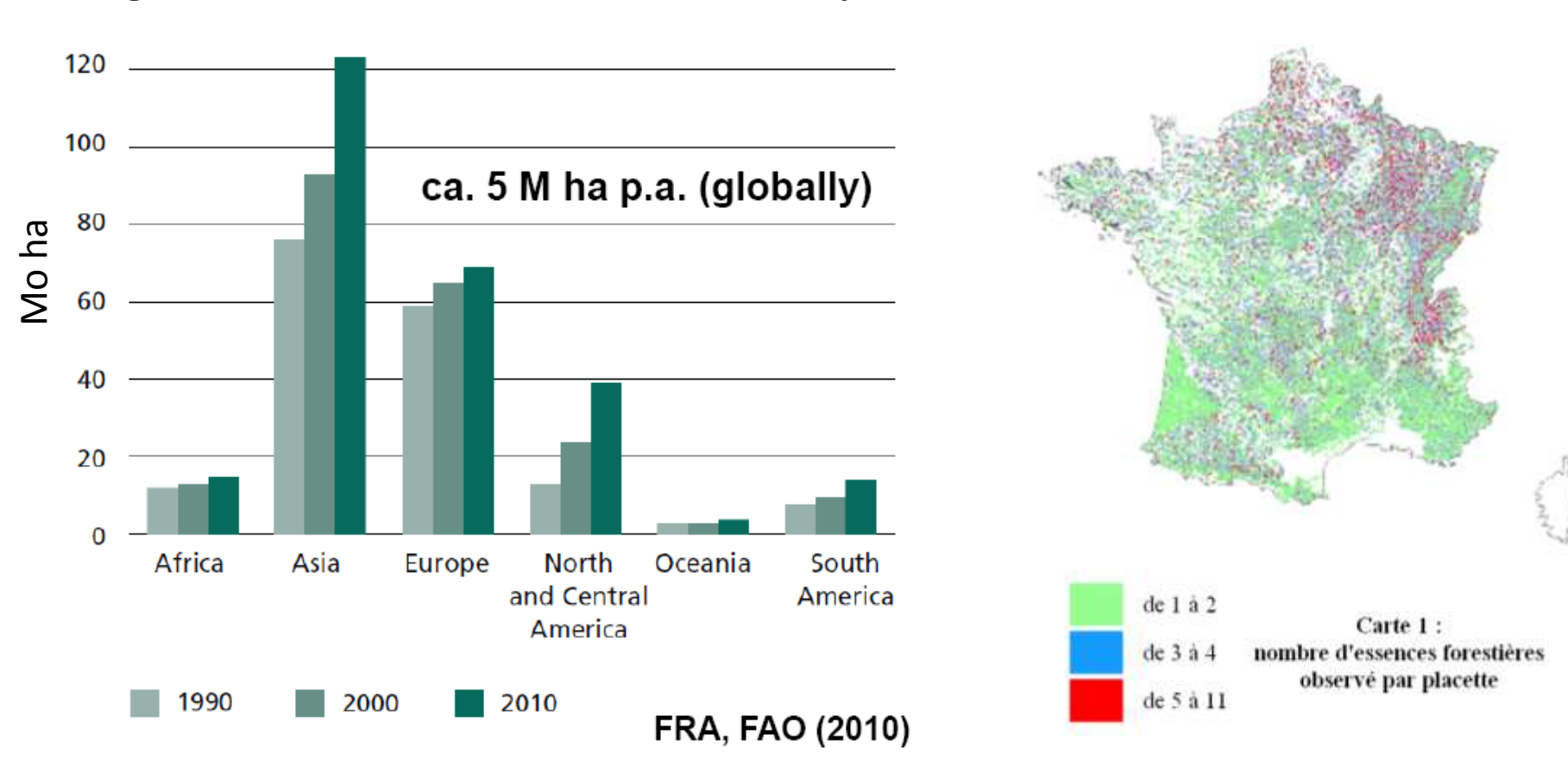
Répartition D. pinea (base DSF)



Source: Marçais, INRA Nancy

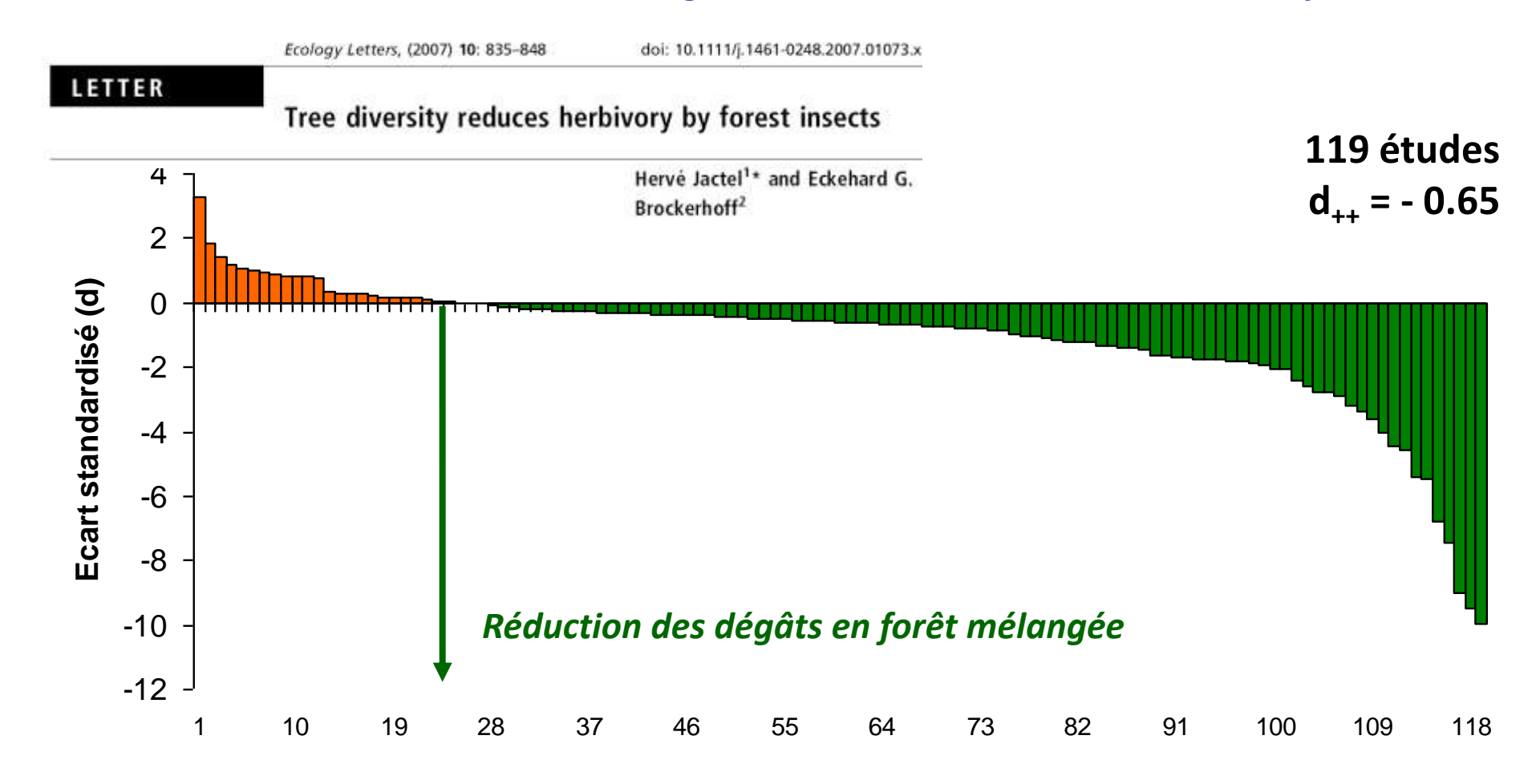
2.2. Evolution sous l'effet de l'homogénéisation liée à l'intensification sylvicole

Augmentation des surfaces de forêts de plantation



+ 10% en France 1989 - 2004 (2 millions ha) 50% forêts françaises avec peuplements monospécifiques

2.2. Evolution sous l'effet de l'homogénéisation liée à l'intensification sylvicole

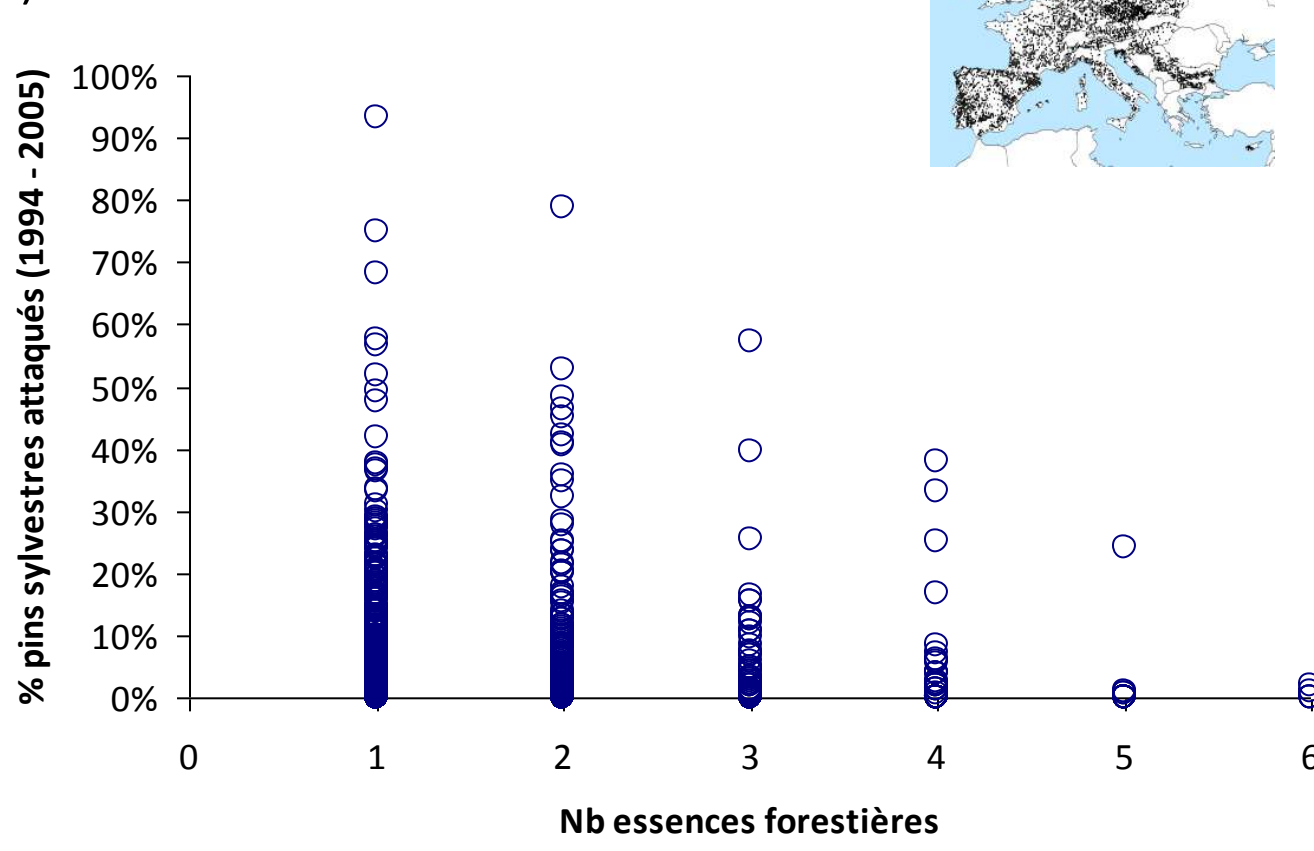


→ 80% indiquent que la diversification des arbres induit une réduction des dégâts de phytophages

2.2. Evolution sous l'effet de l'homogénéisation liée à l'intensification sylvicole

1188 placettes en Europe avec **pin sylvestre** (réseau ICP-Forests)

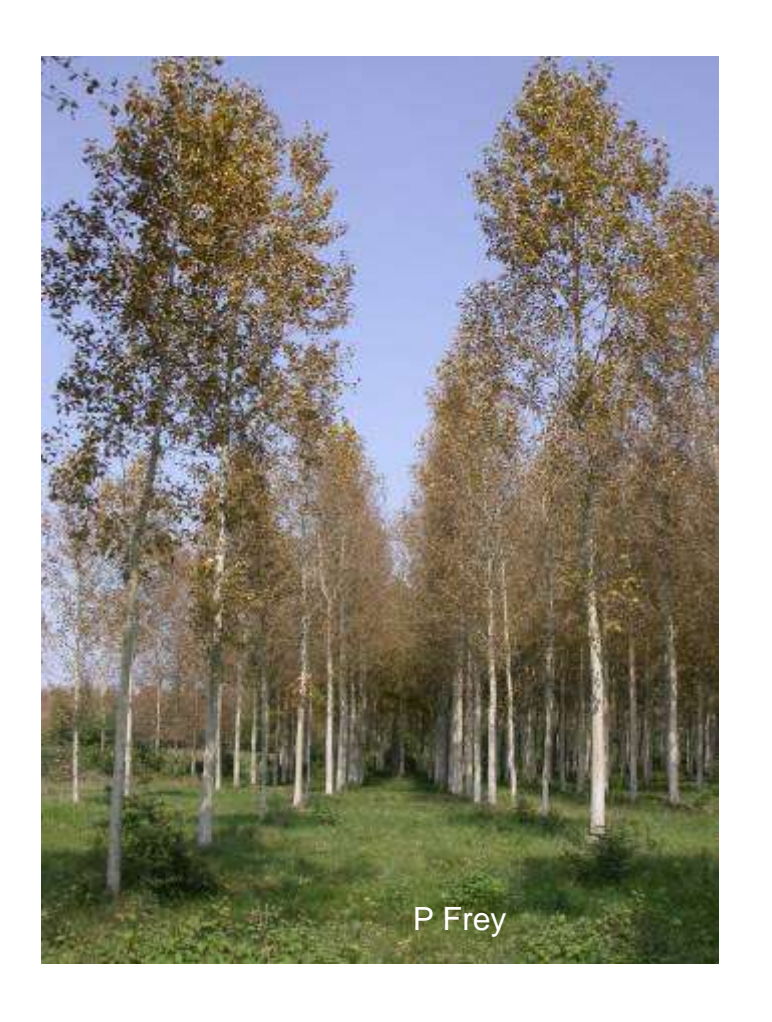




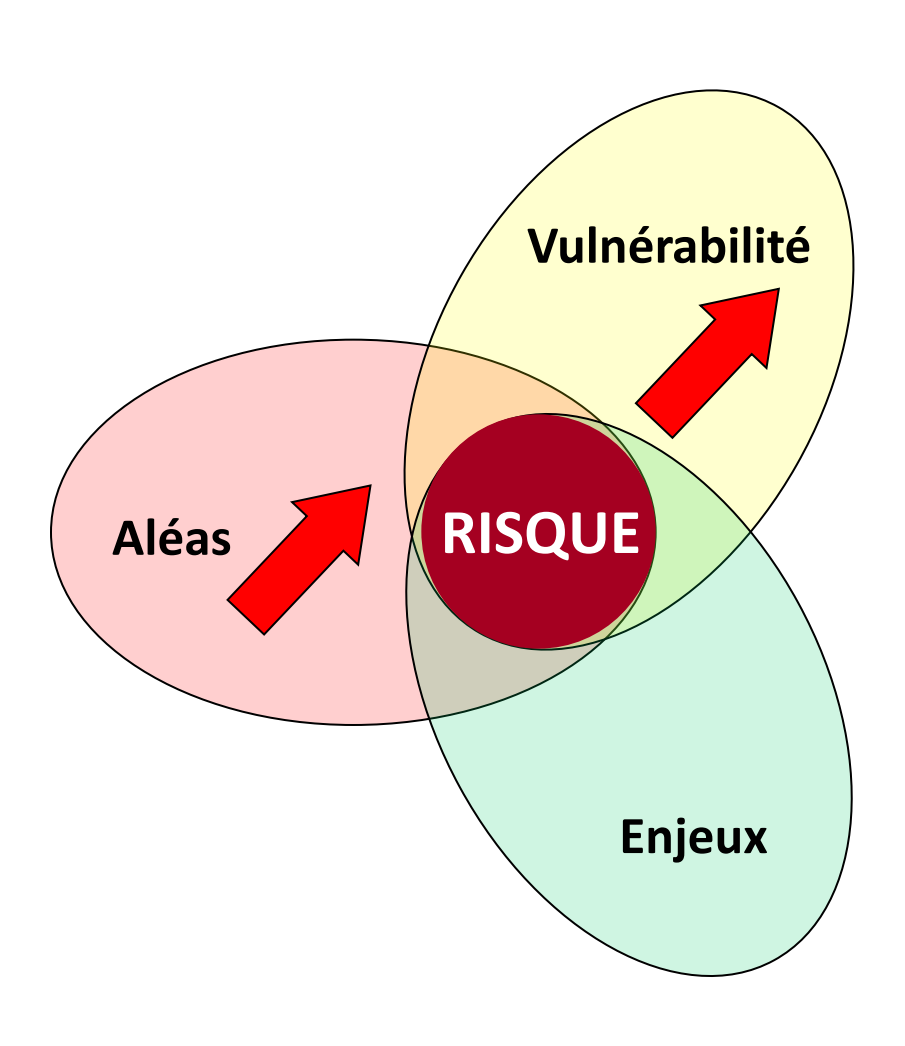
2.2. Evolution sous l'effet de l'homogénéisation liée à l'intensification sylvicole

Homogénéisation génétique: populations clonales de peuplier avec un risque important d'émergence de races virulentes de rouilles



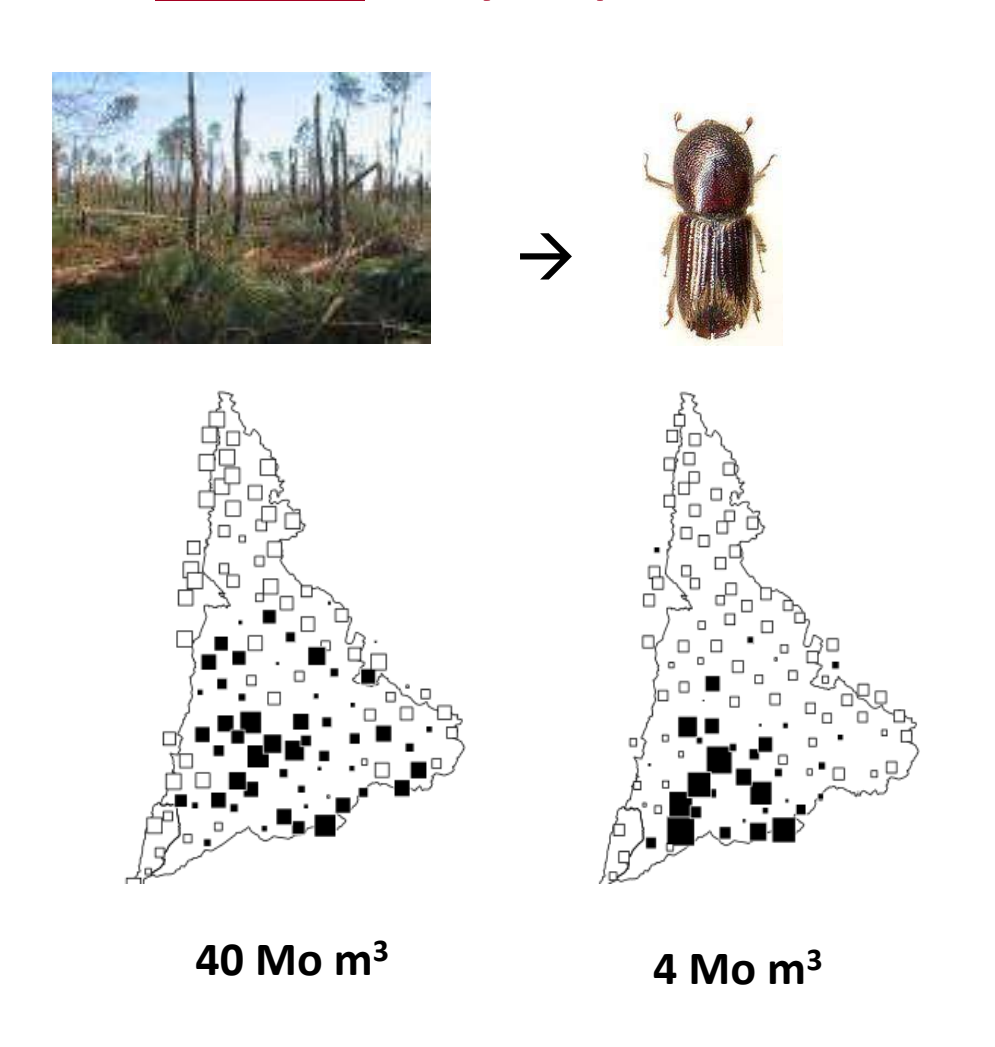


Melampsora larici-populina



3.1. Les impacts des dégâts forestiers

1. Mortalité: scolytes, pourridiés racinaires







Armillaria ostoyae

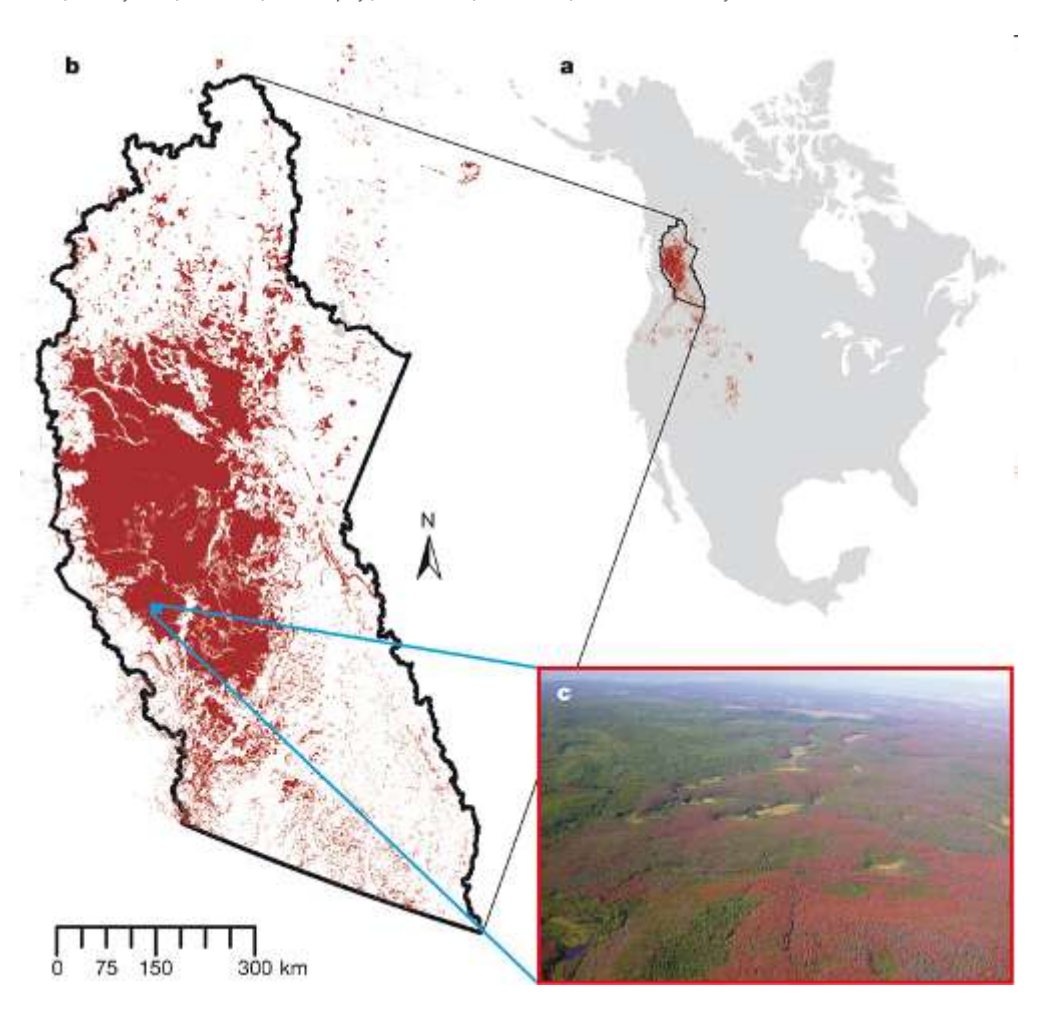
Vol 452|24 April 2008|doi:10.1038/nature06777

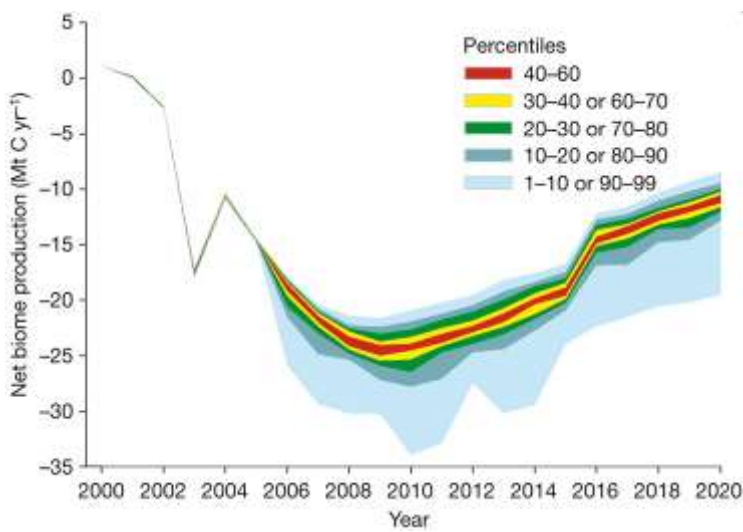
LETTERS

Mountain pine beetle and forest carbon feedback to climate change

W. A. Kurz¹, C. C. Dymond¹, G. Stinson¹, G. J. Rampley¹, E. T. Neilson¹, A. L. Carroll¹, T. Ebata² & L. Safranyik¹

Mortalité par les scolytes → Forêt source d'émission de carbone!





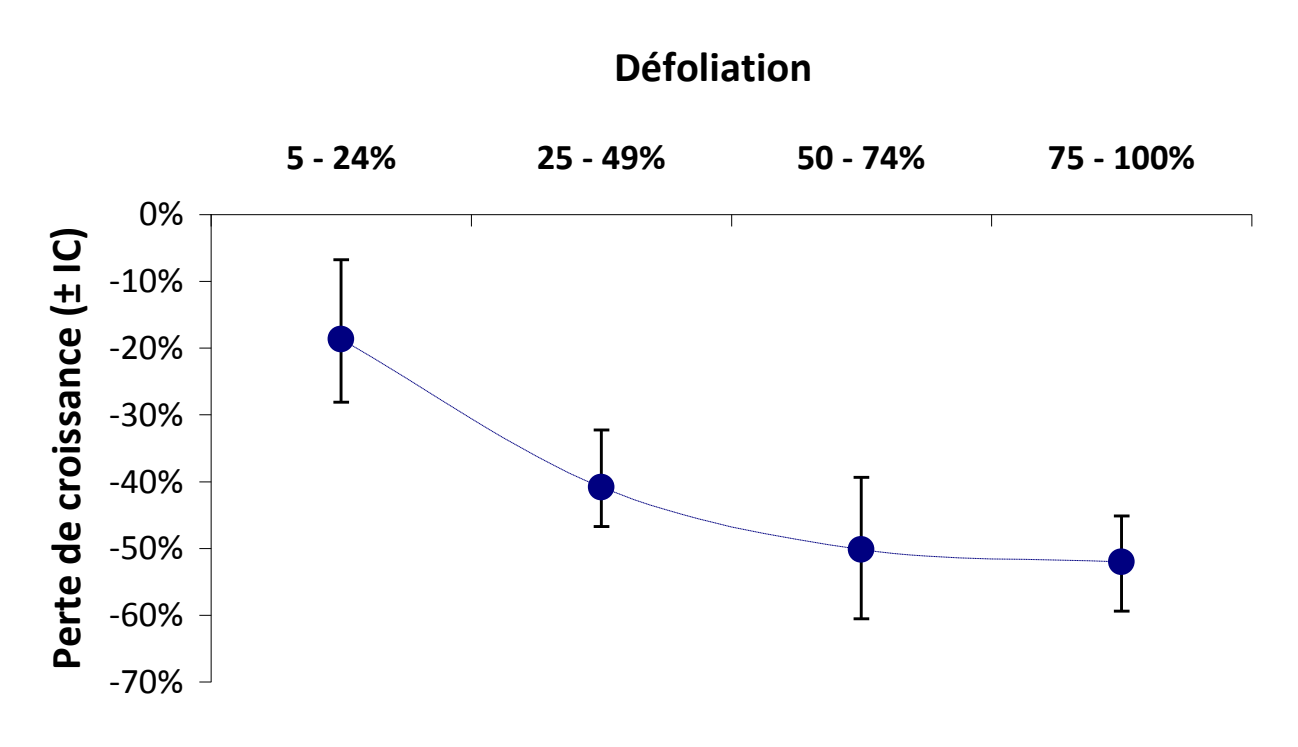


3.1. Les impacts des dégâts forestiers

2. <u>Perte de croissance</u>: défoliateurs, pathogènes foliaires

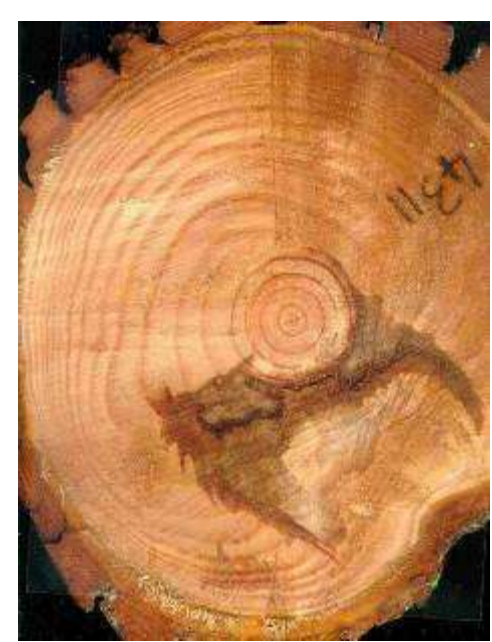






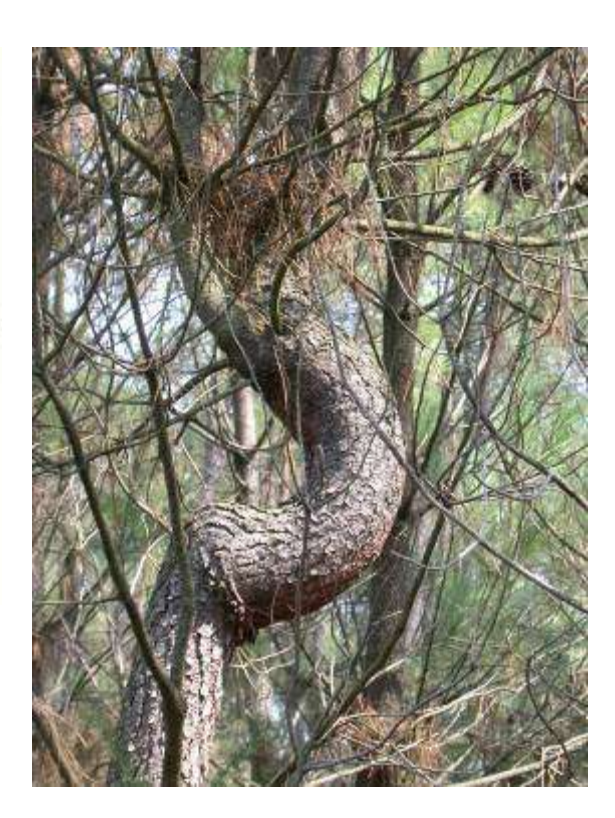
3.1. Les impacts des dégâts forestiers

3. Altération de la qualité du bois: pyrale, agents du bleu, rouille courbeuse





Ophiostoma sp.



Melampsora pinitorqua

Dioryctria sylvestrella

3.2. Le coût économique des dégâts forestiers

Très peu d'estimations ...

Graphiose de l'orme: 125 Mo€/an en Europe (Kettunen et al. 2010)

Coût de la réduction des services écosystémiques rendus par les forêts françaises (cf. rapport Chevassus au Louis et al. 2009) en raison des dommages biotiques:

- pathogènes forestiers 0.4 à 0.8 milliards €/an (Desprez-Loustau et al. 2011)
- insectes ravageurs: 0.7 à 1.5 milliards €

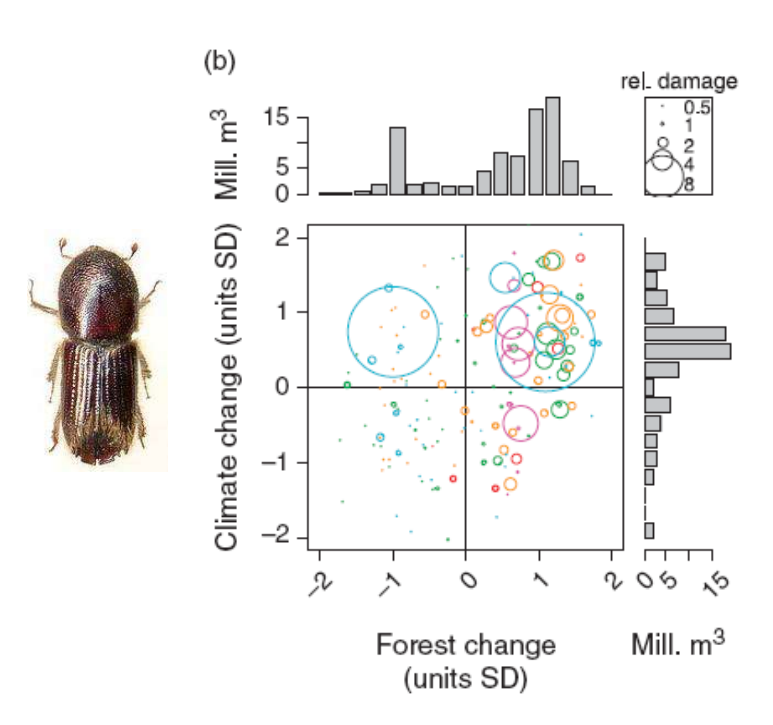
3.3. Evolution des impacts sous l'effet des changements anthropiques

Global Change Biology

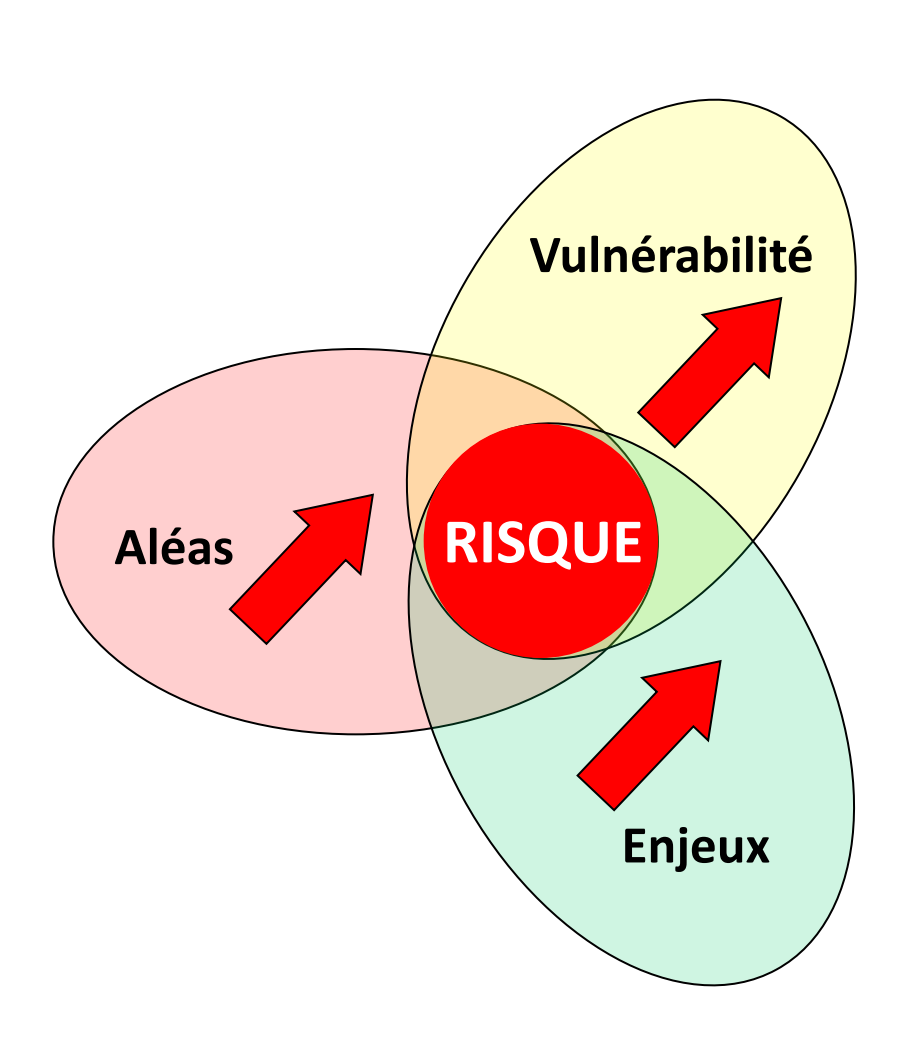
Global Change Biology (2011), doi: 10.1111/j.1365-2486.2011.02452.x

Unraveling the drivers of intensifying forest disturbance regimes in Europe

RUPERT SEIDL*†, MART-JAN SCHELHAAS‡ and MANFRED J. LEXER†



L'impact des pullulations de scolytes en Europe entre 1958 et 2001 s'explique autant par l'augmentation des tempêtes que par l'augmentation de la surface des forêts et du volume de bois sur pied.



4. Analyse des risques

Analyse multicritères de l'effet des pratiques sylvicoles sur le risque en forêt

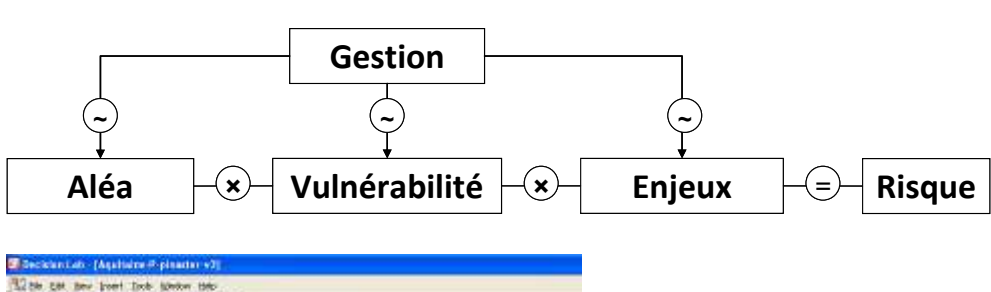
8 régions forestières

5 types d'aléas: insectes, pathogènes, gibier, tempête, feu

4 modes de gestion: proche nature – multifonction – plantation – biomasse







Des II	fill texts xmaut -					1				
	Debiken	Denturk	Suggest	Hystole .	Armidente.	Helician	red :	Dierr	1960	299
MicMic	Hrines =	Minestee	Mireston	Minimipo	Metetro.	Memor	Minte	IRRES	HANNEY.	Mente
Height	15,8000	15,8000	0.0004	# 0300	0.1600	8 1500	0.0108	0.8100	0.1080	0.2008
Perference Fundan	V-Strepe	V.Strape	V.Sheet	V-Strain	V-Stope	Will ope	V.Shipe	V.Shqe	10.00 April	Village
indiana ee Trestaid	-			-	-	+		+	+	4
Preference Precition	19:00	0.9108	0.0108	E9100	0.0100	3.0100	0,000	0.0900	0.00	0.0100
Ossone Threshold	-									
Distribution	Aireade	Aboutan	Aboute	Abroade	Abbaba	Abrelde	Absolute	Seinle	8800489	Andre
Average Forter margo	1.71	0.01	086	8.75	0.00	8.00	0.89	0.85	0.80	0.73
Standard Sen	8.28	0.00	017	1.25	0.20	9.50	010	0.20	0.25	0.30
tine .	9.	9.	1.	16.	%	10.	4.	%	16	%:
1.00E and Persented	0.00	0.08	p.ior	845	0.64	148	0.60	0.8x	0.88	0.86
2 Clean to Return	0.85.	0.01	090	168	0.86	3.65	0.76	0.81	0.80	0.80
3 Contribute Objectives	0.97	0.58	0.83	8.98	176	1:20	0.76	0.80	1.04	0.76
E SELECTIVE WITH MORE AGENT	0.69	133	450	8.08	147	1.08	0.00	0.80	3.90	0.60
52min-Bowen	0.62	0.00	0.46	100	0.00	5.04	0.80	0.80	076	0.47

Decision Lab ®

Proche Nature Multifonction Plantation Biomasse

(Jactel et al. 2011)

Risques

5. Conclusions

- 3 composantes du risque biotique = aléas × vulnérabilité × enjeux

- Grille de lecture pour anticiper les effets du changement climatique

• aléas / CC: effets direct sur nombre de générations, potentiel

biotique, agressivité, invasions

• vulnérabilité / CC: effets indirects sur résistance des arbres

sécheresses, tempêtes

• enjeux / CC: volume de bois sur pied, demande biomasse

- Grille de lecture pour définir les défis scientifiques

• aléas: modélisation des dynamiques spatio-temporelles

vulnérabilité: interactions multitrophiques

• enjeux intégration des sciences économiques

• risques outils d'aide à la décision